

Matematično modeliranje

6. predavanje

UP FAMNIT

Barbara Boldin

Kazalo

1	Osnove bifurkacijske teorije	1
1.1	Bifurkacije ravnovesnih stanj skalarnih enačb	1
1.1.1	Sedelno-vozelna bifurkacija	2
1.1.2	Transkritična bifurkacija	2
1.1.3	Viličasta bifurkacija	3
1.2	Bifurkacije ravnovesnih točk ravninskih sistemov	3
1.2.1	Sedelno-vozelna bifurkacija	4
1.2.2	Hopfova bifurkacija	4

1 Osnove bifurkacijske teorije

Pri do sedaj obravnavanih modelih smo opazili, da se lahko dinamika sistema kvalitativno spremeni, ko se spremenijo vrednosti parametrov modela. Npr.: ravnovesne točke nastajajo in izginjajo, njihova stabilnost se spremeni. Področje matematike, ki se ukvarja z analizo kvalitativnih oziroma topoloških lastnosti dinamičnega sistema se imenuje *bifurkacijska teorija*. V tem razdelku na kratko spoznamo različne tipe bifurkacij ravnovesnih točk pri skalarnih enačbah ter ravninskih sistemih. Za dodano branje se priporoča [1, 2].

1.1 Bifurkacije ravnovesnih stanj skalarnih enačb

Denimo, da je dinamika opisana s skalarno enačbo

$$x'(t) = f_a(x),$$

kjer je funkcija $f : D \subseteq \mathbb{R} \rightarrow \mathbb{R}$ dana C^∞ funkcija parametra $a \in \mathbb{R}$. Naj bo $\bar{x}(a)$ ravnovesna točka pri dani vrednosti a , torej

$$f_a(\bar{x}(a)) = 0.$$

Če je $f'_a(\bar{x}(a)) \neq 0$, potem majhne spremembe parametra a ne prinesejo kvalitativne spremembe v dinamiki, t.j.

$$x'(t) = f_{a+\varepsilon}(x)$$

ima ravnovesno točko $\bar{x}(a + \varepsilon)$, ki se zvezno spreminja z ε , za majhne ε pa se stabilnostne lastnosti ravnovesja ne spremenijo. Bifurkacija se torej lahko zgodi le, če je $f'_a(\bar{x}(a)) = 0$. Poznamo tri tipe bifurkacij ravnovesne točke.

1.1.1 Sedelno-vozelná bifurkacija

Kot bomo videli malce kasneje, ime sedelno-vozelná bifurkacija dobi smisel šele pri ravninskih sistemih. Rečemo, da se sedelno-vozelná bifurkacija zgodi pri $a = a_0$, če obstaja okolica točke $a = a_0$ na kateri:

- ima enačba dve ravnovesni točki za $a < a_0$. Od teh je eno ravnovesje LAS, drugo je nestabilno;
- ima enačba eno ravnovesno točko za $a = a_0$,
- enačba nima ravnovesnih točk za $a > a_0$.

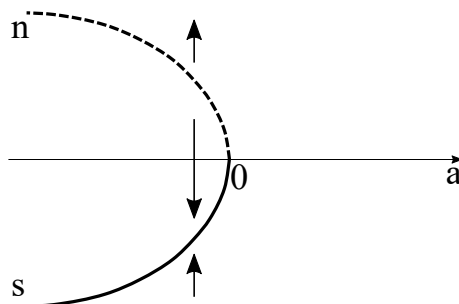
OPOMBA. Zgornji neenakosti sta lahko tudi obrnjeni, tako da ima enačba dve ravnovesji za $a > a_0$ ter nima ravnovesij za $a < a_0$.

PRIMER. Naj bo dana enačba

$$x'(t) = x^2 + a.$$

Enačba ima za $a < 0$ dve ravnovesni točki, $\bar{x}_{12} = \pm\sqrt{-a}$. Pri tem je pozitivna ravnovesna točka nestabilna, negativna pa LAS. Pri $a = 0$ ima enačba eno ravnovesno točko, medtem ko za $a > 0$ ravnovesnih točk ni. Sedelno-vozelná bifurkacija se zgodi pri $a = 0$.

Kvalitativno sliko lahko ponazorimo z bifurkacijskim diagramom na Sliki 1.



Slika 1: Sedelno-vozelná bifurkacija: s označuje LAS ravnovesno točko, n pa nestabilno. Puščice nakazujejo dinamiko $x(t)$.

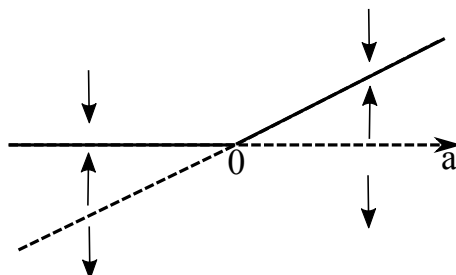
1.1.2 Transkritičná bifurkacija

O transkritični bifurkaciji pri $a = a_0$ govorimo, če obstaja okolica točke a_0 , na kateri ima enačba dve ravnovesni točki, ki se v $a = a_0$ sekata in si izmenjata stabilnost. Transkritičná bifurkacija je tipičná za sisteme oblike $x'(t) = xg_a(x)$ in jo pogosto najdemo pri populacijskih modelih.

PRIMER. Naj bo dana enačba

$$x'(t) = x(a - x).$$

Enačba ima za poljuben $a \in \mathbb{R}$ dve ravnovesni točki $\bar{x}_1 = 0$ in $\bar{x}_2 = a$. Prva je LAS za $a < 0$ in nestabilna za $a > 0$, druga je LAS za $a > 0$ in nestabilna za $a < 0$. Transkritična bifurkacija se zgodi pri $a = 0$, kjer se ravnovesni stanji sekata in si izmenjata stabilnost (glej Sliko 2).



Slika 2: Transkritična bifurkacija: s označuje LAS ravnovesno točko, n pa nestabilno.

1.1.3 Viličasta bifurkacija

Primer viličaste bifurkacije pri $a = 0$ je podan z enačbo

$$x'(t) = x(a - x^2).$$

Velja

- $\bar{x} = 0$ je ravnovesno stanje za poljuben $a \in \mathbb{R}$. Ničelno ravnovesno stanje je LAS za $a < 0$ in nestabilno za $a > 0$.
- Za $a < 0$ je ničelno ravnovesno stanje tudi edino ravnovesno stanje. Za $a > 0$ pa obstajata še dve ravnovesni točki $\bar{x}_{2,3} = \pm\sqrt{a}$. Obe netrivialni ravnovesni točki sta LAS.

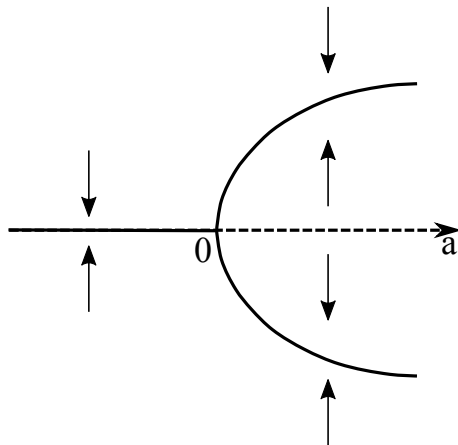
OPOMBA. V zgornjem primeru govorimo o *superkritični* viličasti bifurkaciji. V tem primeru sta neničelni ravnovesni točki LAS. Enačba $x'(t) = x(a + x^2)$ poda primer *subkritične* viličaste bifurkacije, kjer ima ničelno ravnovesje enake stabilnostne lastnosti kot v primeru superkritične bifurakacije, netrivialni ravnovesni točki pa sta nestabilni.

PRIMER. Narišite bifurkacijski diagram za $x'(t) = x(a + x^2)$.

1.2 Bifurkacije ravnovesnih točk ravninskih sistemov

V ravninskih sistemih

$$\begin{aligned} x'(t) &= f_a(x, y) \\ y'(t) &= g_a(x, y) \end{aligned}$$



Slika 3: Viličasta bifurkacija: s označuje LAS ravnovesno točko, n pa nestabilno.

se bifurkacija ravnovesne točke $(\bar{x}(a), \bar{y}(a))$ pri zgodi pri $a = a_0$, ko ima Jacobijeva $J(\bar{x}(a), \bar{y}(a))$ bodisi ničelno lastno vrednost bodisi par konjugiranih imaginarnih lastnih vrednosti.

Poleg treh tipov bifurkacij, ki smo jih že spoznali (transkritična, sedelno-vozeln in viličasta), pri ravninskih sistemih naletimo še na en tip, t.j. Hopfova bifurkacija. Preden jo spoznamo, pa si pogledjmo še en primer sedelno-vozelne bifurkacije (za primer transkritične bifurkacije v ravninskem sistemu glej epidemiološki model spodaj).

1.2.1 Sedelno-vozeln bifurkacija

PRIMER. Naj bo dan sistem

$$\begin{aligned}x'(t) &= x^2 + a \\y'(t) &= -y.\end{aligned}$$

Jacobijeva matrika sistema je

$$J = \begin{pmatrix} 2x & 0 \\ 0 & -1 \end{pmatrix}.$$

Sistem ima za $a < 0$ dve ravnovesni stanji, $(\sqrt{-a}, 0)$ in $(-\sqrt{-a}, 0)$. Prvo je sedlo, drugo je stabilen voz. Pri $a = 0$ ima sistem le eno ravnovesno točko in Jacobijeva matrika ima ničelno lastno vrednost. Za $a > 0$ ravnovesnih točk ni.

Izraz sedelno-vozeln bifurkacija dobi smisel šele pri sistemih dimenzije dva (ali več): ko negativen parameter a narašča proti 0, se sedlo in voz približujeta drug drugemu. Pri $a = 0$ nastane bifurkacija, ravnovesni točki trčita in izgineta. Narišite fazne portrete za negativen, ničlen in pozitiven a in se prepričajte, da podajo tri kvalitativno različne tipe dinamike.

1.2.2 Hopfova bifurkacija

Ko ima Jacobijeva matrika sistema v ravnovesni točki konjugiran par imaginarnih lastnih vrednosti, govorimo o *Hopfovi bifurkaciji*.

PRIMER.

$$\begin{aligned}x'(t) &= ax - y - x(x^2 + y^2) \\ y'(t) &= x + ay - y(x^2 + y^2).\end{aligned}$$

Sistem ima za poljuben $a \in \mathbb{R}$ ravnovesno točko $(0, 0)$. V tej točki je Jacobijeva matrika

$$J(0, 0) = \begin{pmatrix} a & -1 \\ 1 & a \end{pmatrix},$$

ki ima par kompleksnih vrednosti $a \pm i$. Za $a < 0$ je torej $(0, 0)$ stabilen fokus, za $a = 0$ je center, za $a > 0$ pa nestabilen fokus.

Da bi bolje razumeli, kaj se dogaja, ko parameter a prečka nič, zapišimo sistem v polarnih koordinatah (r, φ) . V polarnih koordinatah ima sistem obliko

$$\begin{aligned}r' &= ar - r^3 \\ \varphi' &= 1.\end{aligned}$$

Ker je $\varphi' \neq 0$, je izhodišče edina ravnovesna točka sistema. Za $a < 0$ je torej izhodišče stabilen fokus. Če $a > 0$ je izhodišče nestabilen fokus. Za pozitivne a je $r' = 0$ za $r = \sqrt{a}$, torej je krožnica s polmerom \sqrt{a} periodična rešitev s periodo 2π . Velja še $r' > 0$ za $0 < r < \sqrt{a}$ in $r' > 0$ za $r > \sqrt{a}$. Torej se orbite spiraliijo proti periodični orbiti (cikel je stabilen).

V tem primeru govorimo o *superkritični Hopfovi bifurkaciji*: ko parameter a iz negativnega preide preko bifurkacijske točke $a = 0$ v pozitivnega, stabilen fokus preide v nestabilen fokus, okoli nestabilnega fokusa pa nastane stabilen cikel.

Poznamo tudi *subkritično Hopfovo bifurkacijo*, pri kateri nestabilen fokus preko bifurkacijske točke preide v stabilen fokus, okoli stabilnega fokusa pa nastane nestabilen cikel. Subkritično Hopfovo bifurkacijo lahko opazimo v sistemu

$$\begin{aligned}r' &= ar + r^3 \\ \varphi' &= 1.\end{aligned}$$

PRIMER. Obravnavajmo naslednji SIR sistem dinamike nalezljivih bolezni:

$$\begin{aligned}S'(t) &= b - \beta SI - dS \\ I'(t) &= \beta SI - \gamma I - \alpha I - dI \\ R'(t) &= \gamma I - dR.\end{aligned}$$

Pri tem $S(t)$ označuje velikost populacije dovzetnih ob času t , $I(t)$ označuje velikost populacije okuženih (in tudi kužnih), $R(t)$ pa je velikost populacije ozdravljenih. Pri tem naj bodo vsi parametri modela pozitivni.

V odsotnosti bolezni torej populacija raste s stopnjo rasti b in posamezniki umirajo s *per capita* stopnjo smrtnosti d . Ko je v populaciji prisotna bolezen, se le ta širi ob stiku dovzetnega z okuženim. Število okužb, ki jih en okuženi povzroči na časovno enoto je premo sorazmerno z velikostjo populacije dovzetnih. Bolezen poveča *per capita* stopnjo umrljivosti za α , γ pa je *per capita* stopnja ozdravitve. Po ozdravitvi so posamezniki popolnoma in doživljensko imuni.

V odsotnosti bolezni ima populacija dinamiko $N'(t) = b - dN$, kar pomeni, da se velikost populacije ustali pri ravnovesju $N_0 = \frac{b}{d}$. Denimo, da se bolezen pojavi v populaciji velikosti N_0 . Tedaj se bo bolezen širila natanko tedaj, ko $\beta N_0 - (d + \alpha + \gamma) > 0$ oziroma natanko tedaj, ko

$$R_0 = \frac{\beta N_0}{d + \alpha + \gamma} > 1.$$

Parameter R_0 je *osnovno reprodukcijsko število*, t.j. pričakovano število okužb, ki jih en okužen posameznik povzroči v celotni kužni dobi v sicer povsem dovzetni populaciji. Res, okužen posameznik v povprečju živi $\frac{1}{d+\alpha+\gamma}$ časovnih enot in vsako časovno enoto povzroči βN_0 novih okužb.

Analizirajmo lokalno stabilnost ravnovesij sistema in narišimo kvalitativno različne fazne portrete. Ker spremenljivka R ne nastopa v prvih dveh enačbah, se lahko osredotočimo na sistem

$$\begin{aligned} S'(t) &= b - \beta SI - dS \\ I'(t) &= \beta SI - (d + \alpha + \gamma)I. \end{aligned}$$

Sistem ima dve ravnovesji: ravnovesje brez bolezni

$$(\hat{S}, \hat{I}) = (N_0, 0)$$

ter epidemično ravnovesje

$$(\bar{S}, \bar{I}) = \left(\frac{N_0}{R_0}, \frac{d}{\beta}(R_0 - 1) \right).$$

Le to je biološko smiselno natanko tedaj, ko je $R_0 > 1$, t.j. ko vsak okužen posameznik v celotni kužni dobi v sicer povsem dovzetni populaciji povzroči več kot eno okužbo.

Jacobijeva matrika sistema je

$$J = \begin{pmatrix} -\beta I - d & -\beta S \\ \beta I & \beta S - (d + \alpha + \gamma) \end{pmatrix}.$$

Torej

$$J(\hat{S}, \hat{I}) = \begin{pmatrix} -d & \star \\ 0 & \beta N_0 - (d + \alpha + \gamma) \end{pmatrix}.$$

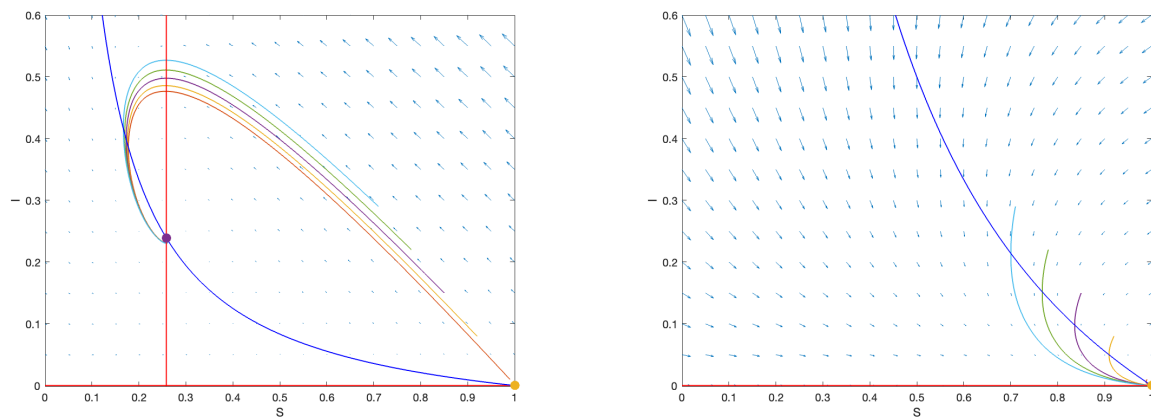
Ravnovesje (\hat{S}, \hat{I}) je LAS ko $R_0 < 1$ (t.j. ko (\bar{S}, \bar{I}) ni biološko smiselno) in nestabilno (bolj natančno, vozle) ko $R_0 > 1$. Imamo še

$$J(\bar{S}, \bar{I}) = \begin{pmatrix} -\beta \bar{I} - d & -\beta \hat{S} \\ \beta \bar{I} & 0 \end{pmatrix}.$$

Če je (\bar{S}, \bar{I}) biološko smiselno, je sled matrike $J(\bar{S}, \bar{I})$ negativna, njena determinantna pa pozitivna. Torej je $J(\bar{S}, \bar{I})$ LAS vedno, ko je biološko smiselno.

Ko osnovno reprodukcijsko število prečka točko $R_0 = 1$, se ravnovesji (\hat{S}, \hat{I}) in (\bar{S}, \bar{I}) sekata in izmenjata stabilnost. Pri $R_0 = 1$ se torej zgodi transkritična bifurkacija. Za kvalitativno različna fazna porteta glej Sliko 4.

VPRAŠANJE. Za konec se vrnimo k modelu Rosenzweig-MacArthur. Katere bifurkacije nastopijo v tem sistemu in kdaj?



Slika 4: Fazni portet SIR modela z nekaj orbitami za $R_0 > 1$ (levo), in $R_0 < 1$ (desno). Če $R_0 > 1$ bolezen ostane stalno prisotna v populaciji in populacija konvergira k endemičnem ravnovesju. Če je $R_0 < 1$, pa epidemija zamre in se populacija približuje ravnovesju brez bolezni. Na obeh slikah sta spremenljivki izraženi kot deleža N_0 .

Literatura

- [1] Morris W Hirsch, Stephen Smale, and Robert L Devaney. *Differential equations, dynamical systems, and an introduction to chaos*. Academic press, 2012.
- [2] Stephen Wiggins. *Introduction to applied nonlinear dynamical systems and chaos*, volume 2. Springer Science & Business Media, 2003.